



## طیفبینی رامان و پراش پرتو ایکس کانسنگ گرافیت، مجموعه سوریان

فرید مُر، زهرا غلامی\*، سینا اسدی

بخش علوم زمین، دانشکده علوم، دانشگاه شیراز

(دریافت مقاله: ۹۳/۲/۳، نسخه نهایی: ۹۳/۴/۷)

چکیده: مجموعه‌ی آتشفشاری-رسوبی سوریان در لبه‌ی شرقی پهنه‌ی دگرگونی-ماگمایی سندنج-سیرجان در جنوب غرب ایران قرار گرفته است. گرافیت شیست فراوان ترین واحد سنگ‌شناختی این مجموعه است و به‌دلیل بالا بودن عیار گرافیت (بیشینه ۰.۵٪) دارای ارزش اقتصادی است. کانی‌های باطله در کانسنسنگ گرافیت، عبارتند از کوارتز، مسکوویت، کلینوکلر، پلازیوکلاز، زیرکن و ایلمنیت. آشکار بودن قله‌ی G در مرتبه‌ی اول جایه‌جایی طیف رامان (حدود  $1587\text{ cm}^{-1}$ ) و فاصله‌ی بین صفحه‌ای (فاصله  $d$ ) ۳/۳۵ آنگستروم، نشان‌دهنده‌ی کانی گرافیت کاملاً بلورین با ساختار منظم در این مجموعه است. رابطه‌ی خطی بین دمای دگرگونی و پارامتر  $R_1$  و  $R_2$  دهنده‌ی گرافیت را به یک زمین‌دماسنجه دقیق تبدیل کرده است. با استفاده از این زمین‌دماسنجه دمای دگرگونی در مجموعه‌ی سوریان، گستره‌ی دمایی ۲۳۴ تا ۲۵۸ درجه‌ی سانتی‌گراد را نشان می‌دهد که با بررسی‌های پیشین صورت گرفته در منطقه و تعیین شرایط دما و فشار در حد رخساره دگرگونی شیست سبز تا آمفیبیولیت زیرین این مجموعه همخوانی دارد.

واژه‌های کلیدی: گرافیت؛ طیف رامان؛ پراش پرتو/ایکس؛ زمین‌دماسنجه؛ دگرگونی؛ مجموعه‌ی سوریان.

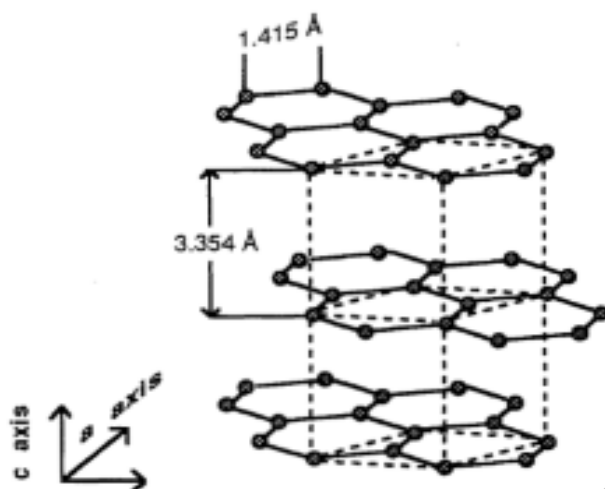
### سازوکارهای اصلی تشکیل ذخایر گرافیت شامل دو فرآیند

نهشت از شاره‌ی کربن‌دار و گرافیتی شدن می‌شود [۴]. گرافیتی شدن مواد کربن‌دار که در دگرگونی ناحیه‌ای یا مجاورتی رخ می‌دهد، به تولید گرافیت از تبدیل شیمیایی مواد آلی (جامد، مایع، گاز) و یا تغییر شکل فیزیکی مواد کربنی با ساختار نامنظم به مواد با ساختار منظم، می‌شود [۵]. با افزایش درجه‌ی دگرگونی مواد کربنی نخست به گرافیت بی‌شکل تبدیل شده و سپس در شرایط دما و فشار در رخساره‌های بالاتر گرفته شده و سپس در شرایط دما و فشار در رخساره‌های بلورین تبدیل می‌شود [۶]. بنابراین سنگ‌های دگرگونی مانند انواع شیست، آمفیبیولیت و گنیس، سنگ‌های اصلی در برگیرنده ذخایر بزرگ گرافیت هستند [۷].

### مقدمه

کانی گرافیت یک چندگون (allotrop) کربن با ویژگی‌های فیزیکوشیمیایی منحصر به فرد است. آرایش اتم‌های کربن در یک شبکه‌ی ششگوش (شکل ۱) و پیوندهای کوالانسی درون-لایه‌ای، گرافیت را یکی از پایدارترین و واکنش‌ناپذیرترین مواد طبیعت تبدیل کرده است، بهطوری که این کانی می‌تواند تا  $2200^{\circ}\text{C}$  ویژگی‌های فیزیکوشیمیایی خود را حفظ کند. پیوندهای ضعیف واندروالس بین لایه‌ای کربن، باعث کاهش سختی گرافیت (۱ تا ۲ در مقیاس موس) شده و آن را به یک روان‌کننده‌ی مناسب در صنعت تبدیل کرده است. این کانی به دلیل دارا بودن الکترون‌های جابه‌جا شده (delocalized) و متحرک، در ساختار اتمی خود، از رسانندگی الکتریکی و گرمایی خوبی برخوردار است [۳-۱].

\* نویسنده مسئول، تلفن: ۰۹۳۸۵۷۵۵۴۸۰، پست الکترونیکی: Gholami.zahra1989@gmail.com



شکل ۱ آرایش اتم‌های کربن در یک شبکه هگزاگونال و تشکیل یک‌ایاخته گرافیت [۳].

### بحث و بررسی موقعیت جغرافیایی و زمین‌شناسی مجموعه آتشفسانی-رسوبی سوریان

منطقه‌ی مورد بررسی بخشی از مجموعه‌ی آتشفسانی - رسوبی سوریان در شمال شرق شیراز (بوانات) است. این منطقه در  $5^{\circ}30'45''$ - $5^{\circ}30'40''$  طول شرقی و  $30^{\circ}0'15''$ - $30^{\circ}0'20''$  عرض شمالی قرار دارد (شکل ۲).

مجموعه‌ی آتشفسانی - رسوبی سوریان در لبه‌ی شرقی منطقه‌ی ماقمایی دگرگونی سنندج - سیرجان واقع شده است. بر اساس پیشینه‌ی زمین دینامیکی پهنه‌ی سنندج - سیرجان، در این منطقه در بازه‌ی زمانی نوپرتوروزیک تا دونین یک حوضه‌ی سکویی حاشیه قاره‌ای کششی قرار داشته که با نازک شدگی پوسته در پالئوزوئیک پایینی همراه بوده است [۸]. از اواخر پالئوزوئیک بالایی تا تریاس میانی، پهنه‌ی سنندج - سیرجان با پدیده کافتی و نهشت کربنات‌ها، گدازه‌های بالشی و برش‌های همزمان با رسوب‌گذاری همراه بوده است، که نشانگر رژیم زمین‌ساختی کششی و جدایش بلوك ایران مرکزی از گندوانا و گسترش بستر اقیانوس نووتیس است [۹]. پس از این مرحله با شروع فروزانش پوسته‌ی اقیانوسی نووتیس به زیر صفحه عربی، تقریباً ۳ مرحله دگرگونی و دگرگشکلی همزمان با فروزانش و ایجاد کمربندهای مزدوج و دگرگونی ناشی از برخورد (کرتاسه بالای) در منطقه رخ داده است [۱۰]. بنابر بررسی‌های اسدی و همکاران ( $20^{\circ}13'$ ، دگرگونی در این منطقه تا حد رخساره‌ی شیست سبز-آمیبولیت زیرین است [۱۱]، که منجر به تشکیل واحدهای سنگی گرافیت‌شیست، کلریت-شیست، میکاشیست و عدسی‌های کوارتزی در منطقه شده-

هدف اصلی این پژوهش تعیین درجه‌ی بلوری شدن کانی گرافیت، نوع و درصد ناخالصی‌های کانسنگ گرافیت، تشخیص نوع گرافیت با ساختار بلوری منظم از گرافیت‌های با ساختار بلوری نامنظم و براورد دمای فرآیند گرافیتی شدن در مجموعه‌ی آتشفسانی - رسوبی سوریان است. در این راستا بررسی‌های میکروسکوپی، طیف‌سنجی رaman و پرتوسنجی پراش پرتو ایکس به کار گرفته شدند.

بیشترین استفاده‌ای که از تجزیه پراش پرتو ایکس می‌شود اندازه‌گیری فاصله‌ی بین صفحات (فاصله  $d$ ) در ساختار اتمی مواد است که با استفاده از آن می‌توان گرافیت‌های کاملاً بلورین را از مواد کربن‌دار با ساختار نامنظم تشخیص داد [۵]. استفاده از طیف‌سنجی رامان راهکاری مناسب برای تعیین درجه و دمای گرافیتی شدن است که با استفاده از محاسبه نسبت‌های  $R_1$  و  $R_2$  محاسبه شده و بر اساس مساحت و شدت قله‌های رامان  $D_1$ ،  $D_2$  و  $G$ ، بنابر رابطه ۱ و ۲ و موقعیت و شدت قله‌های  $D_1$ ،  $D_2$  و  $G$  به کار گرفته می‌شود.

### روش بررسی

در بازدید صحرایی از منطقه، نمونه‌برداری از بخش شرقی حفره‌ی معدنی مس جیان که دارای بیشترین رخمنون گرافیت‌شیست است، انجام شد. نمونه‌های کانسنگ گرافیت بر مبنای رنگ و دارا بودن بیشترین میزان مواد کربنی انتخاب شدند و برای تجزیه‌ی پراش پرتو ایکس (XRD) به آزمایشگاه سازمان زمین‌شناسی و اکتشافات معدنی شمال غرب کشور ارسال شدند. طیف‌سنجی رامان از این نمونه‌ها نیز در آزمایشگاه رامان بخش فیزیک دانشگاه تربیت مدرس انجام شد.

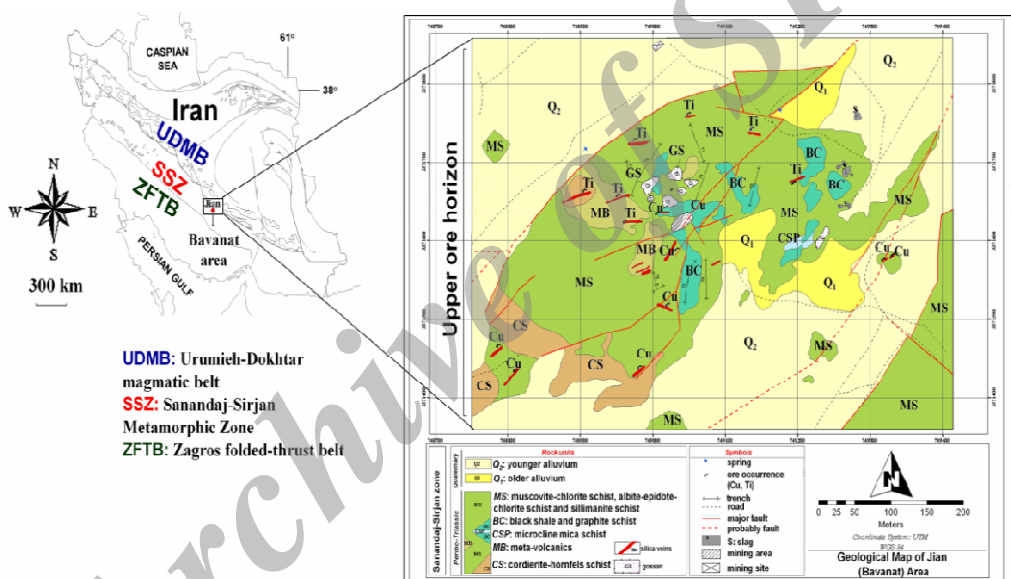
(شکل ۳ الف) همراه با سایر کانی‌های ورقه‌ای، برگوارگی سنگ را تشکیل داده است (شکل ۳ ب). کوارتز و مسکوویت به عنوان مهم‌ترین کانی‌های باطله تحت تاثیر دگرگونی ناحیه‌ای و عملکرد شاره‌های دگرگون-گرمایی ثانویه، دگرسان شده‌اند. سایر کانی‌های موجود در کانسنگ گرافیت عبارتند از کلینوکلر، آلبیت، زیرکن و ایلمنیت (جدول ۱).

طیف‌های پراش پرتو ایکس، تمام نمونه‌های گرافیت شیست را در  $26.6^\circ$ ،  $2\sim 3.5^\circ$  A و  $d: 3.35 \text{ \AA}$  یا کمتر از این میزان نشان می‌دهند (شکل ۴، الف و ب) که نشان دهنده‌ی کاملاً بلوری بودن گرافیت این نمونه‌هاست [۵].

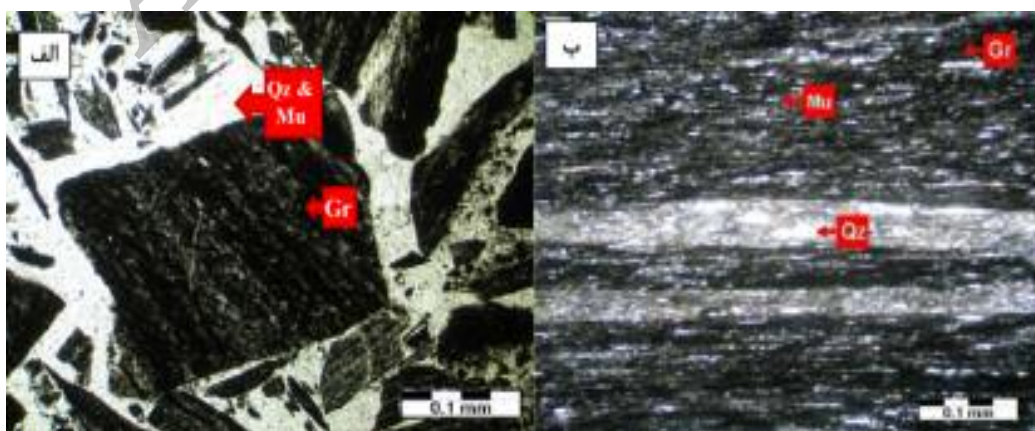
است. گرافیت‌شیست یکی از واحدهای سنگ‌شناختی غالب در مجموعه سوریان است که فراوانی کانی گرافیت در آن (عيار بیش از ۰.۵٪)، این مجموعه را به عنوان یک ذخیره‌ی کانسنگ گرافیت معروفی می‌کند.

### پراش پرتو ایکس

بررسی‌های کانی‌شناختی، با استفاده از پراش پرتو ایکس انکساری و پس از آن که نمونه‌های پودر شده، از غربال ۲۵۰ میکرومتر عبور داده شدند، و با استفاده از (D8 Bruker) step increment: 0.05° and Advanced و با مشخصات Cu- $\text{ka}$  filter (انجام شد. مشاهدات میکروسکوپی و بررسی‌های پراش پرتو ایکس، نشان داد که گرافیت فراوان‌ترین کانی در گرافیت‌شیست‌هاست. این کانی به صورت پولک‌های درشت



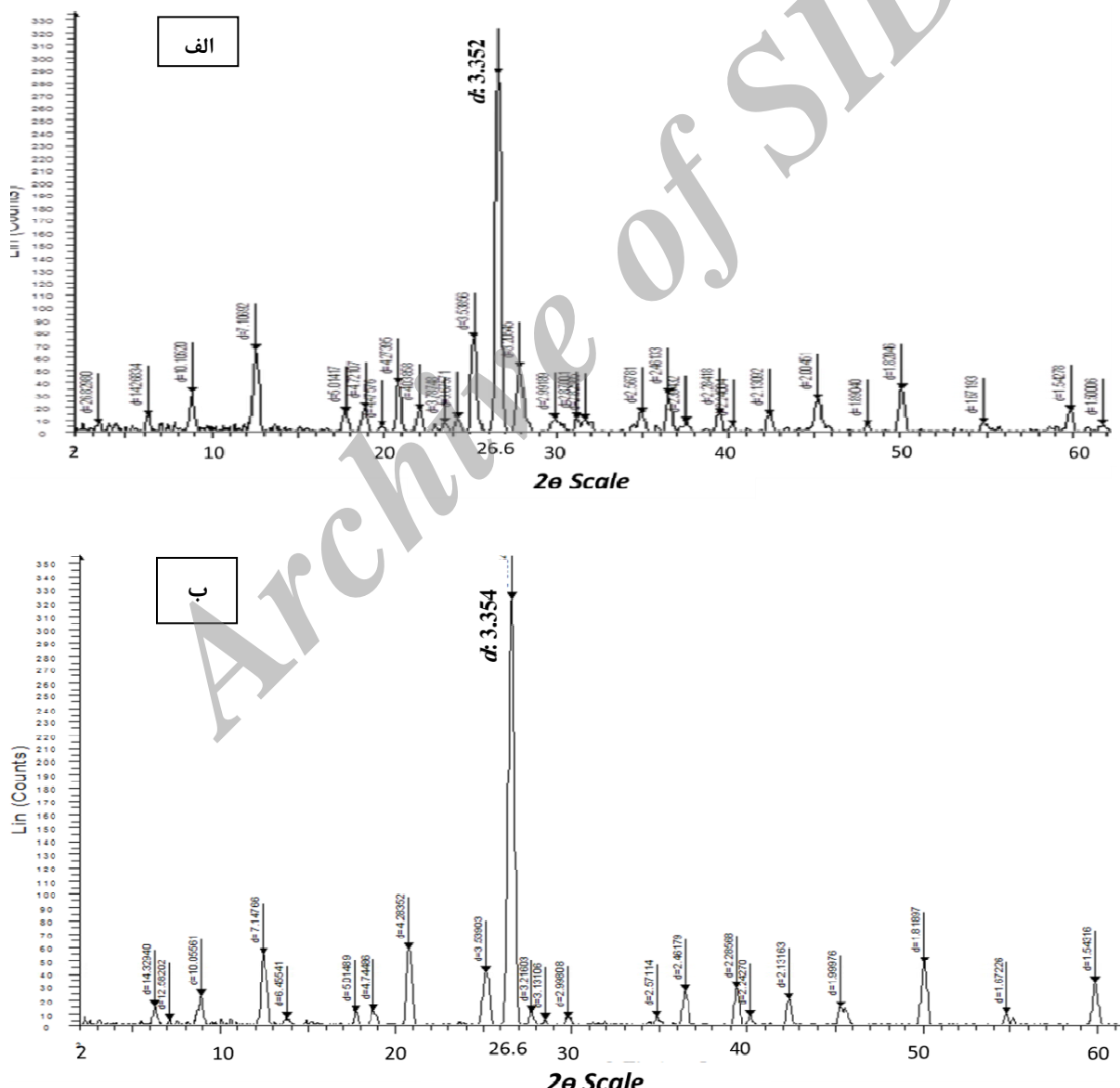
شکل ۲ نقشه‌ی زمین‌شناسی منطقه‌ی بوانات [۱۱].



شکل ۳ مقطع میکروسکوپی از گانسنگ گرافیت، الف-پولک‌های درشت گرافیت، کوارتز و مسکوویت، ب-شیستوارگی در واحد گرافیت شیست با فراوانی کانی گرافیت، کوارتز و مسکوویت. QZ: کوارتز، Gr: گرافیت، Mu: مسکوویت.

جدول ۱ درصد فراوانی کانی‌های موجود در نمونه‌های کانسنگ گرافیت با استفاده از روش تجزیه پراش پرتو ایکس.

	نمونه ۱	نمونه ۲	نمونه ۳	نمونه ۴
Graphite	۲۵	۴۸/۲	۴۹/۳	۳۵/۸
Muscovite	۱۸/۲	۱۵/۹	۱۳/۱	۲۳/۶
Clinochlore	۱۸	۱۲/۵	۱۴/۵	۱۶/۲
Quartz	۳۴/۴	۱۴/۶	۱۴/۲	۱۵/۸
Albite	۴/۶	۸	۸/۸	۸/۴
Zircon	۰/۸	۰/۷	۰/۲	۰/۱
Ilmenite	۰/۱	۰/۱	-	۰/۱



شکل ۴ نتایج تجزیه پراش پرتو ایکس نمونه‌های کانسنگ گرافیت، در هر دو نمونه الف و ب، نمونه گرافیت  $3/35$ : d: آنگستروم را نشان می‌دهد که کاملاً بلوری بودن این کانی را تایید می‌کند [۵].

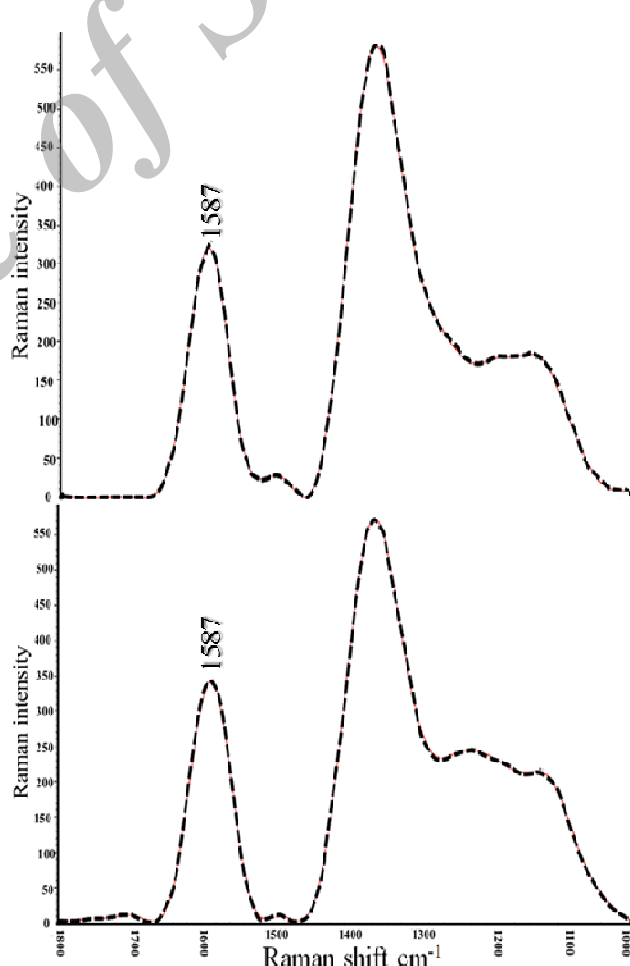
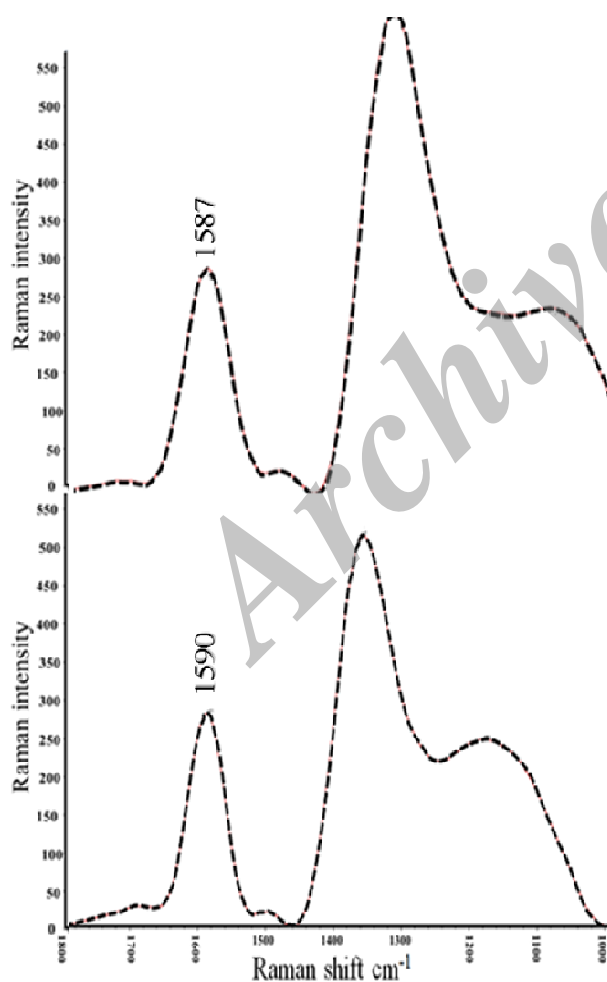
از روش‌های تجزیه‌ای مختلفی برای تعیین مشخصات مواد کربن‌دار از جمله گرافیت استفاده شد. این روش‌ها عبارتند از اندازه‌گیری بازتابش نوری [۱۲]، طیفسنجی فروسرخ [۱۳]، پراکندگی پراش نوترونی [۱۴]، پراش پرتو ایکس و طیفسنجی رامان.

در آزمایش‌های معمول پراش پرتو ایکس، بازتاب از صفحه- $\text{CuK}\alpha$  (۰۰۲) برای گرافیت‌های با ساختار منظم و تابش  $d$  (۰۰۶):۲۰۷۴، اطلاعات فاصله‌ی بین صفحه‌ای (فاصله  $d$ ) بدست می‌آید که با استفاده از آن می‌توان گرافیت‌های کاملاً بلورین با  $d < 3.35 \text{ \AA}$  را از مواد کربنی نامنظم با  $d > 3.35 \text{ \AA}$  تشخیص داد [۵].

### طیفسنجی رامان

تمام نمونه‌های گرافیت شیست منطقه در مرتبه‌ی اول (First Order) طیف رامان، در جا به جایی رامان تقریباً  $1587 \text{ cm}^{-1}$  (نوار G) قله‌ی روشنی را نشان می‌دهد. این نمونه‌ها در جا به جایی رامان تقریباً  $1620 \text{ cm}^{-1}$  هیچ‌گونه قله‌ای را نشان نمی‌دهند (شکل ۵).

نسبت‌های  $R_1$  و  $R_2$  رامان محاسبه شده برای نمونه‌های گرافیت به ترتیب در گستره‌ی بین  $1660$  تا  $2090 \text{ cm}^{-1}$  و  $2090$  تا  $2240 \text{ cm}^{-1}$  را شامل می‌شوند (جدول ۲). دمای دگرگونی نیز در گستره‌ی بین  $2240$  تا  $2580 \text{ cm}^{-1}$  اندازه‌گیری شد (شکل ۵، الف و ب).



شکل ۵ طیف‌های رامان نمونه‌های گرافیت شیست.

جدول ۲ نتایج داده‌های طیفسنجی رامان نمونه‌های گرافیت شیست و محاسبات  $R_1$ ،  $R_2$  و دما ( $^{\circ}\text{C}$ ) $T$ .

	موقعیت G	شدت رامان G	D <sub>1</sub>	موقعیت D <sub>1</sub>	شدت رامان D <sub>1</sub>	R <sub>1</sub>	R <sub>2</sub>	T( $^{\circ}\text{C}$ )
نمونه ۱	۱۵۸۷	۲۹۰	۱۳۵۵	۵۳۰	۱,۸۲	۰,۷۵	۲۵۴	
نمونه ۲	۱۵۸۷	۳۴۳	۱۳۵۷	۵۷۰	۱,۶۶	۰,۷۴	۲۵۸,۲۱	
نمونه ۳	۱۵۹۰	۳۱۰	۱۳۵۵	۶۵۰	۲,۰۹	۰,۷۷	۲۳۴,۱۶	
نمونه ۴	۱۵۹۲	۳۷۰	۱۳۵۶	۶۶۵	۱,۷۹	۰,۷۵	۲۵۳,۰۹	

### برداشت

شواهد کانی‌شناختی و پراش پرتو ایکس نشانگر عیار بالای گرافیت در گرافیت‌شیست‌های رخنمون شده در مجموعه‌ی آتش‌شانی رسوی سویریان است. در این مجموعه کانی‌های گرافیت (بیش از ۵۰٪)، همراه با کانی‌های کوارتز، مسکوویت، کلینوکلر، آلبیت، زیرکن و ایلمنیت، کانسنگ گرافیت را تشکیل می‌دهند.

فاصله بین صفحه‌ای بلورین، مقدار ۳/۳۵ آنگستروم  $\text{cm}^{-1}$  ( $d = ۳,۳۵\text{\AA}$ ) و وجود قله واضح در جایه‌جایی رامان تقریباً ۱۵۸۷ بلوری شدن کامل کانی گرافیت در این مجموعه را نشان می‌دهد و باعث بالا رفتن قیمت کانسنگ گرافیت، در بازار جهانی عرضه این ماده معدنی می‌شود. فاصله‌ی  $d$  کمتر از ۳/۳۵ آنگستروم برای ۲ نمونه از گرافیت شیست‌های منطقه با شرایط قرارگیری این مجموعه در پهنه‌ی دگرگونی - ماقمایی سندنج - سیرجان و عملکرد تنش‌های یک‌جانبه همخوانی دارد.

نسبت‌های  $R_1$  و  $R_2$  رامان نمونه‌های گرافیت به ترتیب ۱,۶۶ تا ۲,۰۹ و ۰,۷۴ تا ۰,۷۷، اندازه‌گیری شدن و میانگین دمای دگرگونی در منطقه، ۲۵۰ درجه‌ی سانتی‌گراد تعیین شد که با شرایط دمایی رخساره‌ی دگرگونی شیست سبز همخوانی دارد (شکل ۶).

### قدرتانی

نویسنده‌گان این مقاله مراتب قدردانی و تشکر خود را از سازمان زمین‌شناسی و اکتشافات معدنی شمال غرب کشور مرکز تبریز، به‌دلیل تجزیه‌ی نمونه‌ها به روش پراش پرتو ایکس ابراز می‌دارند. همچنانی از مدیریت محترم و کارکنان زحمت‌کش معدن مس جیان، به ویژه جناب آقای عباسی و مهندس بلوجی به خاطر همکاری‌شان سپاسگزاریم.

گرافیتها با ساختار کامل‌بلورین در مرتبه‌ی اول طیف رامان ( $1000 \text{ cm}^{-1}$  تا  $1800 \text{ cm}^{-1}$  جایه‌جایی رامان) در جایه‌جایی رامان تقریباً  $1580 \text{ cm}^{-1}$  قله واضحی را نشان می‌دهند که همان نوار G است. این نوع گرافیت در جایه‌جایی رامان تقریباً  $1620 \text{ cm}^{-1}$  (نوار  $D_2$ ) قله ضعیفتری نسبت به نوار G را نشان می‌دهد [۱۵].

پارامترهای  $R_1$  و  $R_2$  بنابر رابطه‌ی (۱) و (۲) محاسبه می‌شوند و در تعیین درجه‌ی دگرگونی به کار می‌روند.

$$R_2 = (D_1 / G + D_2 / A) \quad (1)$$

$$R_1 = (D_1 / G)_H \quad (2)$$

شاخص A و H به ترتیب نشان دهنده‌ی مساحت قله و بیشترین شدت قله است [۱۶].

بیساک و همکاران [۱۷] برای اولین بار با استفاده از داده‌های رامان مواد کربن‌دار، دماسنج دگرگونی دقیقی را تعریف کردند.

بنابر بررسی‌های رال و همکاران [۱۵]، با استفاده از رابطه‌ی (۳)، دمای دگرگونی و فرایند گرافیتی شدن محاسبه می‌شود.

$$T(^{\circ}\text{C}) = 737,3 + 320,9 R_2 - 1067 R_1 \quad (3)$$

رابطه (۳)

فرآیند گرافیتی شدن مواد کربنی به شدت به دمای دگرگونی وابسته است و رابطه‌ی خطی موجود بین دمای دگرگونی و پارامتر  $R_2$  طیف رامان، گرافیت را به یک دماسنج دگرگونی قابل اعتماد تبدیل کرده است. این دماسنج به ویژه کاربرد گستره‌ای در نمونه‌هایی که در گستره‌ی دمایی کمتر از ۱۰۰ تا ۸۰۰ درجه‌ی سانتی‌گراد تشکیل شده‌اند، دارد. در این گستره با افزایش دما، پارامتر  $R_2$  کاهش می‌یابد [۱۵].



شکل ۶ تعیین دمای دگرگونی الف- با استفاده از نسبت  $R_1$  رامان ب- با استفاده از نسبت  $R_2$  رامان.

[3] Krauss U.H., Schimdt H.W., Taylor A.T., Sutphin D.M., "International Strategic Minerals Inventory Summary Report – Natural Graphite", US Geological Survey Circular (1989) 930-H.

[4] Luque F.J. Huizeng J.M., Crespo-Feo E., Wada H., Ortega L., Barrenchea, J.F., "Vein graphite deposits: geological settings, origin, and economic significance", Miner Deposita (2013) DOI 10.1007/s00126-013-0489-9.

[5] Wopenka B., Pasteris J.D., "Structural

#### مراجع

- [1] Balan A., Kumar R., Boukhicha M., Beyssac O., Bouillard J.C., Taverna D., Sacks W., Marangolo M., Lacaze E., Gohler R., Escoffier W., Poumirol J.M., Shukla A., "Anodic bonded graphene", J Phys D ApplPhys, (2010) 43:374013.
- [2] Crossley P., "Graphite: High-tech supply sharpens up", Industrial Minerals (2000) 398:31-47.

- [12] Okyama-Kusunose Y., Itaya T., "Metamorphism of carbonaceous material in the Tono contact aureole, Kitakami Mountains, Japan", Journal of Metamorphic Geology, (1987) 5 121 - 139.
- [13] Rouzaud J.N., Guechati N., Kister J., Conrad J., "Structural characterization of coalification: Example of Gironville Borehole", Bulletin de la Societe geologique de France (1991) 162, 201 – 209.
- [14] Midner D. F. R., Carpenter J.M., "On the short range atomic structure of non-crystalline carbon", Journal of non-crystalline Solids, (1982) 47 391-402.
- [15] Rahl J., Anderson K., Brandon M., Fassoulas C., "Raman spectroscopic carbonaceous material thermometry of low-grade metamorphic rocks: Calibration and application to tectonic exhumation in Crete", Greece. Earth and Planetary Science Letters (2005) 240 (2005) 339–354
- [16] Beyssac F., Brunet J.P., Petitet B., Goffe' J.N., Rouzaud J.N., "Experimental study of the microtextural and structural transformations of carbonaceous materials under pressure and temperature", Eur. J. Mineral. 15 (2003) 937–951.
- [17] Beyssac B., Goffe C., Chopin J.N., Rouzaud "Raman spectra of carbonaceous material in metasediments; a new geothermometer", J. Metamorph (2002) Geol. 20 859–871.
- characterization of kerogens to granulite-facies graphite - applicability of Raman microprobe spectroscopy", American Mineralogist, (1993) 78 533-557.
- [6] Landis C.A., "Graphitization of dispersed carbonaceous material in metamorphic rocks", Contr Mineral and Petrol, (1971). 30, 34-45.
- [7] Kalyoncu R.S., "Graphite", U.S. Geological Survey Minerals Yearbook, (1998) pp 34.1-34.3.
- [8] Alavi M., "Structures of the Zagros Fold-Thrust belt in Iran", American Journal of Science 13 (2007) 1064–1095.
- [9] Sheikholeslami M.R., Pique A., Mobayen P., Sabzehei M., Bellon H., Emami M.H., "Tectono-metamorphic evolution of the Neyriz metamorphic complex, Quri-Kor-e-Sefid area (Sanandaj-Sirjan Zone, SW Iran)", Journal of Asian Earth Sciences., (2008) 31 pp 504–521.
- [10] Sarkarinejad Kh., Azizi A., "Slip partitioning and inclined dextral transpression along the Zagros Thrust System, Iran", Journal of Structural Geology, (2008) 30 pp 116-136.
- [11] Asadi S., Moore F., Fattahi N. "Fluid inclusion and stable isotope constraints on the genesis of the Jian Cu deposit, Sanandaj-Sirjan metamorphic zone, Iran", Geofluid (2013) 13 pp 66 – 81.